

**KLASIFIKASI TINGKAT KEPARAHAN *DIABETIC
RETINOPATHY* BERDASARKAN DETEKSI OBJEK
(*MICROANEURYSMS, HEMORRHAGES, DAN HARD
EXUDATES*) MENGGUNAKAN METODE
MORFOLOGI MATEMATIKA DAN
BACKPROPAGATION**

SKRIPSI

**Diajukan Untuk Memenuhi Salah Satu Persyaratan Dalam Memperoleh
Gelar Sarjana Matematika (S. Mat)**



**UIN SUNAN AMPEL
S U R A B A Y A**

**OLEH
FIFI DIAH ROSALINA
NIM.H72214014**

**PROGRAM STUDI MATEMATIKA
JURUSAN SAINS
FAKULTAS SAINS DAN TEKNOLOGI
UNIVERSITAS ISLAM NEGERI SUNAN AMPEL SURABAYA
SURABAYA
2018**

PERNYATAAN KEASLIAN

Yang bertandatangan dibawah ini:

Nama : Fifi Diah Rosalina

NIM : H72214014

Program Studi : Matematika

Angkatan : 2014

Menyatakan bahwa saya tidak melakukan plagiat dalam penulisan skripsi saya yang berjudul: **Klasifikasi Tingkat Keparahan Diabetic Retinopathy Berdasarkan Deteksi Objek (*Microaneurysms, Hemorrhages, Dan Hard Exudates*) Menggunakan Metode Morfologi Matematika Dan Backpropagation**. Apabila suatu saat nanti terbukti saya melakukan tindakan plagiat, maka saya akan menerima sanksi yang telah ditetapkan. Demikian pernyataan keaslian ini saya buat dengan sebenar-benarnya.

Surabaya, 3 Agustus 2018



Fifi Diah Rosalina
NIM. H72214014

LEMBAR PENGESAHAN


**KLASIFIKASI TINGKAT KEPARAHAN *DIABETIC RETINOPATHY*
BERDASARKAN DETEKSI OBJEK (*MICROANEURYSMS*,
HEMORRHAGES, DAN *HARD EXUDATES*) MENGGUNAKAN METODE
MORFOLOGI MATEMATIKA DAN BACKPROPAGATION**

Disusun oleh
Fifi Diah Rosalina
NIM.H72214014

Telah dipertahankan di depan Dewan Penguji
Pada tanggal 20 Juli 2018
Dan dinyatakan telah memenuhi syarat
untuk memperoleh gelar
Sarjana Matematika (S.Mat)

Dewan Penguji

Penguji I


Dian Candra Rini N, M. Kom
NIP. 198511242014032001

Penguji II


Ahmad Hanif Asyhar, M.Si
NIP. 198601232014031001

Penguji III


Aris Fanani, M. Kom
NIP. 198701272014031002

Penguji IV


Nurissaidah Ulinnuha, M. Kom
NIP. 199011022014032004

Mengesahkan
Dekan Fakultas Sains dan Teknologi
UIN Sunan Ampel Surabaya



Dr. Eni Purwati, M.Ag
NIP. 196512211990022001



KEMENTERIAN AGAMA
UNIVERSITAS ISLAM NEGERI SUNAN AMPEL SURABAYA
PERPUSTAKAAN

Jl. Jend. A. Yani 117 Surabaya 60237 Telp. 031-8431972 Fax.031-8413300
E-Mail: perpus@uinsby.ac.id

LEMBAR PERNYATAAN PERSETUJUAN PUBLIKASI
KARYA ILMIAH UNTUK KEPENTINGAN AKADEMIS

Sebagai sivitas akademika UIN Sunan Ampel Surabaya, yang bertanda tangan di bawah ini, saya:

Nama : FIFI DIAH ROSALINA
NIM : H72214014
Fakultas/Jurusan : SAINTEK / MATEMATIKA
E-mail address : fifid.rosalina@gmail.com

Demi pengembangan ilmu pengetahuan, menyetujui untuk memberikan kepada Perpustakaan UIN Sunan Ampel Surabaya, Hak Bebas Royalti Non-Eksklusif atas karya ilmiah :

Sekripsi Tesis Desertasi Lain-lain (.....)
yang berjudul :

KLASIFIKASI TINGKAT KEPARAHAN DIABETIC RETINOPATHY
BERDASARKAN DETEKSI OBJEK (MICROANEURYSMS, HEMORRHAGES,
DAN HARD EXUDATES) MENGGUNAKAN METODE MORFOLOGI
MATEMATIKA DAN BACKPROPAGATION

berserta perangkat yang diperlukan (bila ada). Dengan Hak Bebas Royalti Non-Eksklusif ini Perpustakaan UIN Sunan Ampel Surabaya berhak menyimpan, mengalih-media/format-kan, mengelolanya dalam bentuk pangkalan data (database), mendistribusikannya, dan menampilkan/mempublikasikannya di Internet atau media lain secara *fulltext* untuk kepentingan akademis tanpa perlu meminta ijin dari saya selama tetap mencantumkan nama saya sebagai penulis/pencipta dan atau penerbit yang bersangkutan.

Saya bersedia untuk menanggung secara pribadi, tanpa melibatkan pihak Perpustakaan UIN Sunan Ampel Surabaya, segala bentuk tuntutan hukum yang timbul atas pelanggaran Hak Cipta dalam karya ilmiah saya ini.

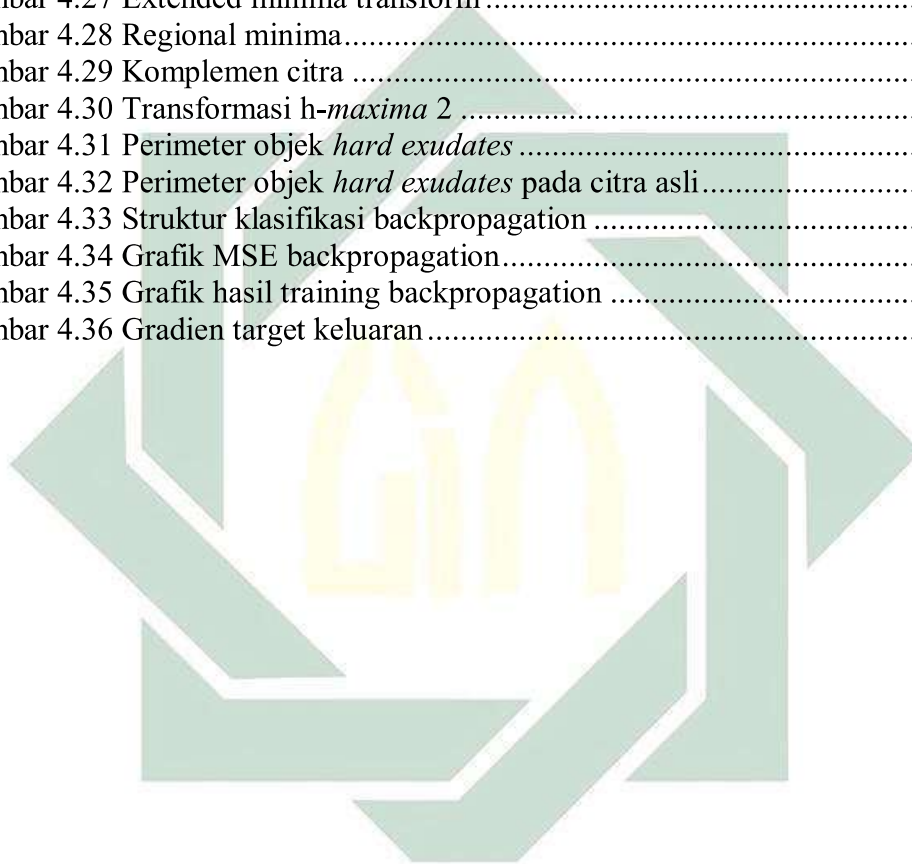
Demikian pernyataan ini yang saya buat dengan sebenarnya.

Surabaya, 02 Agustus 2018

Penulis

(FIFI DIAH R.)

Gambar 4.19 Perbandingan kualitas citra dengan peningkatan intensitas	90
Gambar 4.20 Histogram perbaikan peningkatan intensitas.....	91
Gambar 4.21 Intensitas citra negatif.....	92
Gambar 4.22 Histogram perbaikan citra negatif	93
Gambar 4.23 Citra hasil erosi <i>disk</i>	94
Gambar 4.24 Penerapan morfologi erosi	94
Gambar 4.25 Citra hasil rekonstruksi morfologi	95
Gambar 4.26 Transformasi <i>h-maxima</i>	96
Gambar 4.27 Extended minima transform	97
Gambar 4.28 Regional minima.....	98
Gambar 4.29 Komplemen citra	99
Gambar 4.30 Transformasi <i>h-maxima 2</i>	100
Gambar 4.31 Perimeter objek <i>hard exudates</i>	101
Gambar 4.32 Perimeter objek <i>hard exudates</i> pada citra asli.....	101
Gambar 4.33 Struktur klasifikasi backpropagation	102
Gambar 4.34 Grafik MSE backpropagation.....	116
Gambar 4.35 Grafik hasil training backpropagation	116
Gambar 4.36 Gradien target keluaran	118



Contoh penyakit tidak menular di antaranya adalah stroke, hipertensi, diabetes, kanker, penyakit paru obstruktif kronis, dan lain sebagainya. Meskipun penyakit-penyakit tersebut tidak menular namun kasus kematian terbanyak di Indonesia disebabkan oleh penyakit tidak menular. Penyakit tidak menular akan cenderung dipengaruhi oleh perbedaan karakteristik kondisi metabolik pada masing-masing individu seperti pola hidup sehat, konsumsi buah dan sayur, hingga kelebihan berat badan. Tentunya, studi tentang penyakit tidak menular ini memiliki cakupan yang luas dan bervariasi dengan melibatkan koherensi antara solusi komputasi, analisis, dan pengetahuan dalam bidang kedokteran. Diantara penyakit tidak menular tersebut, diabetes menjadi salah satu penyebab kematian tertinggi di dunia dan telah mendapat perhatian khusus oleh *World Health Organization* (WHO) yang mencanangkan pembangunan berkelanjutan yang diagendakan pada tahun 2030.

Pembangunan berkelanjutan yang dicanangkan oleh WHO ditujukan untuk menurunkan angka kematian yang telah terjadi pada tahun 2012 sebanyak 1,5 juta kematian dan mengestimasi secara global bahwa sebanyak 422 juta orang dewasa tahun 2014 akan mengalami diabetes (WHO, 2016). Faktor lain penyakit diabetes diprioritaskan oleh WHO adalah penyakit ini dapat berkembang menjadi komplikasi serius terhadap beberapa organ vital lainnya seperti serangan jantung, stroke, gagal ginjal, amputasi kaki, kehilangan penglihatan, kerusakan syaraf hingga kematian janin pada ibu hamil. Diabetes termasuk ke dalam kelompok penyakit metabolik yang ditandai dengan hiperglikemia akibat kerusakan sekresi insulin, reaksi insulin, atau keduanya (American Diabetes Association, 2010).

Faktor risiko kelebihan berat badan menjadi faktor utama yang menyebabkan terjadinya penyakit diabetes. Kondisi ini diperparah oleh meningkatnya pertumbuhan diabetes yang dipengaruhi oleh faktor genetik yang dapat mengalami kondisi diabetes lebih parah. Beberapa dekade terakhir terdapat satu pernyataan tentang prevalensi global (usia-standar) bahwa penyakit diabetes menyerang 4,7% hingga 8,5% populasi orang dewasa (WHO, 2016). Komplikasi hilangnya penglihatan pada penderita diabetes tipe dua akan menjadi pokok bahasan dalam penelitian ini. Hal mendasar yang dapat ditinjau sebagai solusi adalah *screening* awal citra digital. Citra medis optik retina (fundus) berperan penting untuk melakukan *screening* awal terhadap kondisi *microaneurysms*, *hemorrhages*, *hard exudates*, fovea, dan makula dalam meminimalisir hilangnya penglihatan seseorang dengan melakukan analisis terhadap citra yang dikaji.

Visualisasi objek pada citra digital memicu munculnya berbagai macam pengolahan citra baik untuk perbaikan kualitas citra, peningkatan analisis, hingga pengamanan. Pengamanan dengan penyembunyian informasi pada penelitian tentang “*Watermarking* Citra Digital menggunakan Metode Discrete Cosine Transform” mampu memberikan pengamanan *watermark* yang tahan terhadap berbagai serangan (Fanani & Ulinuha, 2016). Pengolahan lain untuk peningkatan analisis dalam suatu citra yang menggambarkan kondisi penyakit telah banyak dilakukan pada berbagai kasus. Bidang ini melibatkan studi gambar digital dengan tujuan menerapkan solusi komputasi yang akan digunakan dalam membantu kuantifikasi dan visualisasi patologi serta struktur anatomis seseorang. Jenis-jenis citra yang menjadi objek analisis akan memiliki perilaku komputasi yang

bervariasi bergantung pada objek yang akan diamati (Naam, dkk., 2017). Perbedaan tersebut bergantung pada jenis citra yang merupakan suatu metode dalam citra medis yang memiliki format berbeda seperti *Computed Tomography Scan* (CT-Scan) dengan tipe format *Windows bitmap* (bmp), *Chest X-Ray* dengan tipe format *Joint Photographic Experts Group* (jpg) dan *Panoramic X-Ray* dengan tipe format *Portable Network Graphics* (png) yang mana masing-masing akan menghasilkan karakteristik citra yang beragam (Naam, dkk., 2017)

Mencegah lebih baik daripada mengobati. Hal inilah yang menjadi pedoman penting untuk meminimalisir kejadian yang lebih buruk pada beberapa organ tubuh yang mungkin akan mengalami kondisi abnormal hingga menyebabkan komplikasi. Tentu kebiasaan atau gaya hidup tidak sehat menjadi faktor utama penyebab berbagai macam penyakit terutama penyakit tidak menular seperti diabetes. Kondisi ini akan muncul ketika terdapat gangguan metabolik yang melibatkan struktur kerja jaringan antara pankreas, insulin dan kontrol kadar gula dalam darah tidak bekerja maksimal.

Deteksi, identifikasi, dan *screening* awal merupakan peringatan yang perlu dilakukan untuk meminimalisir kondisi yang lebih buruk yang dapat terjadi pada penderita diabetes mellitus sebelum penyakit tersebut menyebabkan komplikasi yang lebih parah hingga menyebabkan kematian. Kasus komplikasi diabetes mellitus yang menyerang jaringan mikrovaskular mata seperti *diabetic retinopathy* memungkinkan untuk tidak disadari selama beberapa tahun hingga menyebabkan kondisinya semakin parah. *Diabetic retinopathy* terjadi akibat kelainan pada mata yang dapat menyebabkan hilangnya penglihatan atau kebutaan

Objek analisis citra yang berbeda yaitu citra fundus dilakukan oleh A. Budai, R. Bock, A. Maier, J. Hornegger and G. Michelson tentang “*Robust Vessel Segmentation in Fundus Images*” dan menerapkan algoritma *frangi* dalam proses penyelesaiannya menggunakan *hessian matrix* untuk menghitung masing-masing posisi piksel x_0 beserta skalanya (Budai, dkk., 2013). Resolusi hirarki yang digunakan dimulai dengan skala 0,5 yang selanjutnya dilakukan proses ekstraksi menggunakan *hessian matrix* hingga didapatkan hasil keluaran berupa gambar syaraf retina dalam bentuk biner.

Identifikasi *diabetic retinopathy* dapat dilakukan dengan mendeteksi adanya fitur-fitur atau objek *microaneurysms*, *hemorrhages*, dan *hard exudates* seperti yang dilakukan oleh Neera Singh dan Ramesh Chandra Tripathi tentang “*Automated Early Detection of Diabetic Retinopathy using Image Analysis Techniques*” menggunakan konsep morfologi matematika dan menerapkan metode *fuzzy clustering* dalam mendapatkan ekstraksi fitur dari pembuluh atau syaraf pada retina.

Beberapa penelitian diatas terletak pada satu hal yang sama yaitu pembelajaran tentang karakteristik seperti yang dilakukan oleh Swasti Gupta dan Karandikar AM dalam melakukan pembelajaran mesin untuk menyelesaikan permasalahan diagnosis *diabetic retinopathy* (Gupta & AM, 2015). Ketiga penelitian diatas memiliki fokus objek dan metode penyelesaian yang bervariasi.

Penelitian terkait yang akan dilakukan penulis mengacu pada penelitian yang mengkaji tentang “*Identification of Different Stages of Diabetic Retinopathy using Retinal Optical Images*” dengan menerapkan metode *backpropagation* ke

dalam empat klasifikasi yaitu normal, *severe* NPDR, *moderate* NPDR dan *proliferative* DR yang mampu menghasilkan nilai sensitivitas sebesar 91,7% dan spesifisitas sebesar 100% serta keakuratan prediksi mencapai 84% (Yun, dkk., 2008). Penelitian lain dilakukan oleh Handayani Tjandrasa, dkk tentang “*Classification of Non-Proliferative Diabetic Retinopathy Based on Hard Exudates using Soft Margin SVM*” dimana metode rekonstruksi morfologi yang diterapkan mampu menghasilkan segmentasi objek dengan baik (Tjandrasa, dkk., 2013).

Terkait dengan penelitian yang dilakukan oleh Handayani Tjandrasa yang mampu memberikan hasil segmentasi dengan baik terhadap identifikasi *hard exudates* dan Wong Li Yun yang mampu memberikan hasil prediksi sebesar 84% menggunakan klasifikasi backpropagation, maka penelitian yang akan dilakukan penulis adalah “Klasifikasi Tingkat Keparahan *Diabetic Retinopathy* berdasarkan Deteksi Objek (*Microaneurysms*, *Hemorrhages*, dan *Hard Exudates*) menggunakan Metode Morfologi Matematika dan Backpropagation”. Dua hal yang difokuskan pada penelitian tersebut adalah kemunculan objek-objek pada berbagai tingkatan *diabetic retinopathy* ke dalam lima klasifikasi yaitu normal, *mild*-NPDR, *moderate*-NPDR, *severe*-NPDR, dan *proliferative* menggunakan metode backpropagation. Hasil pengolahan citra yang berlaku sebagai inputan pada metode backpropagation adalah area dan perimeter objek dari proses pengolahan citra dalam mendeteksi *microaneurysms*, *hemorrhages*, dan *hard exudates*.

- b. Metode morfologi matematika dinilai memiliki hasil keluaran yang cukup baik untuk mempelajari struktur geometri objek secara lebih jelas dimana penggunaan metode tersebut dapat dengan mudah mendeteksi suatu objek yang termuat pada data medis
 - c. Metode backpropagation dapat diterapkan dengan baik untuk mengklasifikasikan lima tingkat keparahan *diabetic retinopathy* yang didasarkan pada empat inputan ekstraksi fitur dari dua proses pengolahan citra
2. Manfaat praktis
1. Bagi Peneliti
 - a. Memahami proses pengolahan citra sebelum digunakan dalam pengujian klasifikasi tingkat keparahan *diabetic retinopathy*
 - b. Memahami alur penyelesaian dalam pengolahan citra, terutama citra suatu penyakit atau kelainan pada tubuh manusia
 - c. Sebagai bahan pembelajaran dalam memahami dan mempraktikkan suatu metode pada perbaikan dan pengolahan citra dengan menggunakan konsep matematis
 - d. Untuk meningkatkan wawasan dan kemampuan penulis dalam melakukan penelitian, pengamatan, dan mengeksplor ide-ide yang dapat bermanfaat bagi perkembangan ilmu pengetahuan
 2. Bagi universitas
 - a. Untuk memberikan informasi tentang penerapan metode matematis dibidang keilmuan lain seperti bidang kedokteran

- b. Sebagai bahan pembelajaran dan masukan dalam melakukan pengembangan pada penelitian selanjutnya yang mungkin akan dilakukan oleh peneliti lain
 - c. Sebagai media pembelajaran dalam memahami metode morfologi matematika dan metode backpropagation yang mampu diterapkan dalam mengklasifikasikan lima tingkat keparahan *diabetic retinopathy*
3. Bagi bidang kedokteran
1. Memperbaiki dan mempertajam kualitas citra terhadap objek yang diamati
 2. Untuk meminimalisir *diabetic retinopathy* yang lebih parah yang nantinya dapat digunakan untuk mempertimbangkan pengobatan laser dan sebagainya dalam mencegah hilangnya penglihatan seseorang
 3. Meningkatkan analisis citra dalam mengklasifikasikan tingkat keparahan *diabetic retinopathy* yang dilakukan dengan sistem komputasi

Di Indonesia, penyakit diabetes menjadi salah satu penyakit pembunuh tertinggi urutan tiga yang diungkapkan oleh *Sample Registration Survey* 2014. Sementara, data *International Diabetic Federation* (IDF) menunjukkan jumlah penyandang diabetes di Indonesia diperkirakan sebesar 10 juta yang menempati urutan ketujuh tertinggi di dunia. Pernyataan tersebut dilatarbelakangi oleh berbagai komplikasi yang berkembang menyerang anggota tubuh lain seperti mata, ginjal, dan jantung hingga menyebabkan kematian.

Komplikasi diabetes mellitus cenderung tidak disadari oleh penderita hingga menyebabkan kondisinya menjadi rentan dan semakin parah. Secara garis besar, komplikasi diabetes dibagi menjadi dua yaitu pada mikrovaskular (pembuluh darah kecil) dan makrovaskular (pembuluh darah besar). Beberapa komplikasi yang termasuk ke dalam komplikasi mikrovaskular diantaranya *neuropathy*, *nephropathy*, dan *retinopathy*. Sedangkan komplikasi makrovaskular meliputi penyakit *cardiovascular*, *stroke*, dan *Peripheral Artery Disease* (PAD) (Papatheodorou, dkk., 2018).

1. Diabetes Mellitus

Diabetes mellitus disebut sebagai *silent killer* karena penyakit ini sering tidak disadari dan baru diketahui ketika penderita mengalami komplikasi di bagian tubuh lain (Kementerian Kesehatan RI, 2014). Diabetes mellitus terjadi ketika kondisi tubuh mengalami gangguan metabolik menahun yang diakibatkan oleh meningkatnya kadar gula dalam darah. Menurut Nani Suryani dalam (Wilson, 2005), diabetes mellitus merupakan penyakit multifaktorial yang dipengaruhi oleh

sindroma hiperglikemia kronis dan gangguan metabolisme seperti lemak, karbohidrat, dan protein yang disebabkan oleh defisiensi sekresi insulin, reaksi insulin atau bahkan keduanya. Kondisi ini terjadi ketika pankreas tidak mampu menghasilkan hormon insulin atau tubuh tidak dapat menggunakan insulin yang diproduksi secara efektif untuk mengontrol kadar gula darah.

Kondisi diabetes mellitus menyebabkan tubuh tidak dapat merubah glukosa dalam darah menjadi sumber energi bagi sel. Karena sel-sel pada tubuh kekurangan energi maka penderita diabetes mellitus akan mudah merasa lemas hingga meresponnya dengan rasa lapar dan haus yang berlebihan. Apabila konsumsi karbohidrat dalam tubuh banyak sedangkan hormon insulin yang mengontrol kadar gula dalam darah tidak dapat diproduksi semestinya maka penumpukan glukosa dalam darah juga akan semakin meningkat. Hal inilah yang melatarbelakangi timbulnya penyakit diabetes mellitus atau kencing manis.

Faktor risiko penyebab penyakit diabetes mellitus ada pada dua sisi yaitu faktor keturunan dan faktor lingkungan. Beberapa faktor lingkungan yang memicu timbulnya penyakit diabetes mellitus diantaranya:

1. Gaya hidup
2. Resistensi insulin
3. Usia
4. Obesitas

5. Pola makan
6. Aktivitas fisik
7. Gaya hidup

Secara global, diabetes mellitus dibedakan atas dua tipe. Diabetes tipe 1 (T1D) terjadi ketika sistem imun mengalami kerusakan fatal pada sel beta di endokrin pankreas yang menyebabkan hormon insulin kekurangan vitamin (Stitt, dkk., 2015). Faktor penyebab T1D dipicu oleh faktor lingkungan individu yang mana secara genetik memiliki predisposisi (Ekoe, dkk., 2013). Meskipun menurut (WHO, 2016) penyebab pasti T1D tidak diketahui dan tidak dapat dicegah sehingga harus mendapat pemberian insulin secara intensif namun, T1D dapat diidentifikasi dengan melakukan *screening* terhadap *Glutamic Acid Decarboxylase Antibodies* (GADAs) and *Islet Antigen-2 Antibodies* (IA-2As) pada masa kanak-kanak. *Screening* awal tersebut dapat mengembangkan penyakit T1D selama 27 tahun kedepan yang memberikan sensitivitas sebesar 61% pada selang kepercayaan 95% (Ekoe, dkk., 2013).

Diabetes tipe 2 (T2D) menurut (WHO, 2016) disebabkan oleh kondisi upnormal dari pankreas yang tidak dapat menghasilkan hormon insulin dalam mengontrol kadar gula darah. Seperti yang disebutkan oleh (WHO, 2016), (Nentwich & Ulbig, 2015), dan (Kementerian Kesehatan RI, 2014) menyatakan bahwa penderita T2D mendominasi kasus terbanyak penyakit diabetes di dunia. *Diabetic retinopathy*

menjadi komplikasi *neurovascular* yang dapat terjadi pada penderita diabetes tipe 1 dan 2. Komplikasi ini terjadi pada rentang usia 20-74 tahun yang banyak terjadi pada negara berkembang (Solomon, dkk., 2017). Tidak hanya itu, menurut (Hu G, 2004) pada (Ekoe, dkk., 2013) sindrom metabolik yang diderita oleh pre-diabetes terutama pada kondisi *Oral Glucose Tolerance Test* (OGTT) atau *Glycated Hemoglobin* (A1C) mencapai 6,0% hingga 6,4% yang tidak hanya berpeluang menderita T2D namun juga meningkatkan risiko terhadap komplikasi *macrovascular*.

2. Diabetic Retinopathy

Diabetic retinopathy akan muncul sebagai risiko dalam jangka panjang akibat kondisi pankreas yang tidak mampu mengontrol kadar gula dalam darah. Penyakit ini merupakan komplikasi jangka panjang yang terjadi pada penderita diabetes mellitus atau kencing manis. Komplikasi ini terjadi pada pembuluh darah kecil atau mikrovaskular khususnya mata. Risiko tersebut akan menunjukkan kondisi abnormal pada bagian dan anatomi mata yang dapat mengganggu fungsi-fungsi struktur mata hingga menyebabkan hilangnya penglihatan. Tentunya langkah *screening* awal dapat dilakukan untuk mempertimbangkan pengobatan laser dan sebagainya yang disesuaikan dengan komplikasi yang terjadi. Visualisasi komplikasi pada struktur mata yang mengakibatkan hilangnya penglihatan ditunjukkan pada Gambar 2.1.

Beberapa tanda yang menunjukkan komplikasi *diabetic retinopathy* ditandai dengan adanya *microaneurysms*, *hemorrhages*, dan *hard exudates* yang dapat mengganggu suplai oksigen pada syaraf-syaraf mata.

Secara global, penderita *diabetic retinopathy* diklasifikasikan ke dalam dua tipe yaitu *Non-Proliferative Diabetic Retinopathy* (NPDR) dan *Proliferative Diabetic Retinopathy* (PDR). Sedangkan dalam penelitian ini dua tipe *diabetic retinopathy* tersebut dibedakan ke dalam lima tingkatan diantaranya normal, *mild Non-Proliferative Diabetic retinopathy* (*mild-NPDR*), *moderate Non-Proliferative Diabetic retinopathy* (*moderate-NPDR*), *severe Non-Proliferative Diabetic retinopathy* (*severe-NPDR*), dan *Proliferative Diabetic Retinopathy* (PDR). Lima tingkatan *diabetic retinopathy* tersebut dijabarkan sebagai berikut (Yun, dkk., 2008):

- a. Normal: kondisi mata tidak mengalami gangguan dan berfungsi secara semestinya sehingga pada mata normal struktur mata tidak mengandung unsur *microaneurysms*, *hemorrhages* maupun *hard exudates*.
- b. *Mild-NPDR*: pada tahap ini akan terdapat pembengkakan kecil pada *microvaskular* retina yang disebut dengan *microaneurysms* seperti pada Gambar 2.2 b.

Struktur mata yang ditandai oleh kondisi awal kemunculan dari *microaneurysms* ini dapat ditunjukkan untuk mendeteksi atau

dapat merubah jenis citra RGB ke dalam citra yang berada pada skala keabuan 0-255. Pengambilan *layer* G merupakan satu dari tiga komponen matriks keabu-abuan yang membentuk citra jenis RGB. *Pre-processing* yang dilakukan dengan pengambilan *layer* G memiliki tingkat kejelasan yang lebih baik dibandingkan merubah citra RGB menjadi *gray scale*.

Perubahan citra jenis RGB ke dalam citra *gray scale* akan memiliki kualitas citra keabuan yang berbeda. Hal ini dilatarbelakangi oleh sebaran nilai intensitas yang berbeda pula. Perubahan citra jenis RGB menjadi *gray scale* dilakukan menggunakan Persamaan 2.3 dimana perubahan nilai intensitas dari citra awal RGB didasarkan pada perhitungan dari ketiga komponen nilai intensitas piksel pada masing-masing *layer*.

2. Histogram Equalization (HE)

Histogram merupakan tampilan bentuk grafis yang digunakan untuk menunjukkan distribusi data secara visual atau seberapa sering suatu nilai yang berbeda itu terjadi dalam suatu kumpulan data (Kho, 2018). Histogram juga dapat diartikan sebagai suatu grafik yang menggambarkan penyebaran nilai-nilai intensitas piksel. Manfaat dari penggunaan histogram adalah memberikan informasi mengenai variasi dalam proses dan membantu manajemen dalam membuat keputusan sebagai upaya dalam peningkatan proses yang berkesinambungan (Murinto d. , 2008). Manfaat dari penggunaan histogram adalah untuk

Berdasarkan penelitian yang dilakukan oleh (Lusiana, Hartono, & Veronica, 2014) yang mengkaji tentang “Pengaruh Pra-Proses Perbaikan Kontras pada Hasil Pencarian Citra” menunjukkan bahwa proses pembelajaran terhadap adanya fitur pada citra memberikan hasil pencarian citra yang lebih baik dibandingkan dengan metode HE dengan perbandingan 53,33% untuk metode AHE dan 46,67% untuk metode HE.

4. Citra Negatif

Citra negatif terbentuk dari sebaran nilai intensitas piksel asli yang dioperasikan dengan nilai intensitas maksimum dari citra. Apabila nilai maksimum intensitas citra bernilai 255 maka nilai intensitas piksel 18 dari citra asli akan berubah menjadi 207. Hasil nilai intensitas dari citra negatif akan selalu berkebalikan dari citra asli karena setiap piksel pada citra negatif diperoleh dari hasil pengurangan nilai maksimum citra dengan nilai intensitas citra sebelumnya. Proses pengolahan citra negatif dapat dijadikan pedoman untuk meningkatkan detail fitur putih pada citra yang memiliki latar belakang hitam lebih dominan dari suatu citra. Penerapan citra negatif ini mampu menghasilkan visualisasi yang lebih baik dari suatu fitur pada citra medis. Representasi perubahan nilai intensitas piksel citra negatif tersebut ditunjukkan pada Gambar 2.10 menggunakan Persamaan 2.8 berikut.

$$I' = 255 - I \quad (2.8)$$

proses segmentasi citra untuk identifikasi objek yang mencirikan *diabetic retinopathy* dipaparkan sebagai berikut.

1. Operasi Morfologi

Operasi morfologi merupakan suatu proses dalam pengolahan citra yang didasarkan pada proses modifikasi setiap titik sesuai dengan kebutuhan. Macam-macam operasi modifikasi citra dibedakan atas beberapa jenis diantaranya operasi titik, operasi global, operasi geometrik, operasi temporal, operasi banyak titik bertetangga, dan operasi morfologi. Operasi morfologi sendiri diartikan sebagai operasi yang didasarkan pada segmen atau bagian dalam citra yang menjadi perhatian (Ekanita, 2004). Bagian citra yang menjadi perhatian pada penelitian ini adalah *microaneurysms*, *hemorrhages*, dan *hard exudates*.

Teknik yang sering digunakan dalam operasi morfologi meliputi operasi dilasi, operasi erosi, operasi pembukaan (*opening*), dan operasi penutupan (*closing*). Struktur elemen dalam operasi morfologi menjadi dasar yang menentukan ketepatan hasil pengenalan objek yang terkandung pada citra. Struktur elemen diartikan sebagai suatu himpunan berupa *sub-image* kecil yang difungsikan untuk mengenali bentuk-bentuk objek pada citra (Prasetyo, 2012). Macam-macam bentuk struktur elemen diantaranya *octagon*, *rectangle*, *diamond*, *pair*, *periodicline*, *line*, *disk*, *square*, dll. Setiap macam bentuk dari struktur elemen dengan nilai R (jarak atau jumlah piksel dari titik pusat) tertentu mengindikasikan bahwa komponen nilai yang terbentuk pada struktur

struktur jaringan syaraf tiruan satu *layer* ini mengalami kemunduran karena dianggap memiliki keterbatasan dalam pengenalan pola. Metode backpropagation pertama kali diperkenalkan oleh Paul Werbos sekitar tahun 1974, yang kemudian dikemukakan oleh David Parker pada tahun 1982 dan selanjutnya dipopulerkan oleh Rumelhart dengan Mc Clland pada tahun 1986. Setelah dikembangkannya struktur jaringan syaraf tiruan *multilayer* ini, berbagai persoalan yang berkaitan dengan identifikasi, prediksi, pengenalan pola dan sebagainya membuat metode backpropagation diminati banyak orang. Bahkan, saat ini metode backpropagation telah dikembangkan menjadi metode *Adaptive Neighborhood Modified Backpropagation* (ANMBP) dengan menggabungkan dua nilai error yaitu error linier dan error non linier (Novitasari, 2015).

Stuktur jaringan syaraf tiruan backpropagation memiliki cara kerja yang sama dengan struktur jaringan syaraf tiruan yang lain, namun stuktur kerja jaringan syaraf tiruan backpropagation memiliki proses pelatihan untuk mendapatkan keseimbangan pada kemampuan jaringan untuk mengenali pola yang digunakan selama pelatihan dan mampu memberikan respon yang tepat pada pola masukan dengan pola yang digunakan selama pelatihan, sehingga pada proses pelatihan tersebut pembobotan yang dilakukan berfungsi sebagai faktor penggali dari pola masukan yang lain.

3. Backpropagation yang diterapkan dalam struktur jaringan ini merupakan metode *feedforward* yang akan berulang dalam mendapatkan pola terbaik dari suatu sistem yang dibangun. Apabila jumlah iterasi atau *epoch* yang telah ditentukan sudah terpenuhi maka sistem akan menghasilkan inputan yang telah terklasifikasi, namun jika tidak maka sistem akan terus berjalan hingga jumlah iterasi telah terpenuhi

E. Teknik Analisis Data

Metode analisis yang dimaksud dalam bab ini merupakan metode yang diterapkan dalam klasifikasi tingkat keparahan *diabetic retinopathy* dimana metode analisis yang digunakan adalah metode backpropagation. Proses awal pengolahan citra tersebut dimulai dengan penerapan metode morfologi matematika dalam menghasilkan citra yang lebih baik dimana pada metode tersebut hasil keluaran yang diperoleh berupa kejelasan objek-objek pada mata yang mengandung unsur *microaneurysm*, *hemorrhages*, dan *hard exudates*.

Hasil ekstraksi fitur area dan perimeter objek citra akan diproses menggunakan metode backpropagation dimana dalam metode backpropagation tersebut citra medis optik retina atau citra fundus akan diklasifikasikan ke dalam lima tingkat keparahan *diabetic retinopathy*. Lima tingkat keparahan yang diklasifikasikan meliputi normal, *mild-NPDR*, *moderate-NPDR*, *severe-NPDR*, dan PDR.

Hasil deteksi objek terhadap klasifikasi tingkat keparahan *diabetic retinopathy* tersebut dapat diterapkan untuk menghasilkan solusi komputasi citra digital yang lebih baik dibandingkan dengan analisis konvensional. Hasil

dilatarbelakangi oleh ciri objek yang berbeda pula. Pengolahan citra pertama dilakukan untuk mendeteksi adanya *microaneurysms* dan *hemorrhages* menggunakan dua operasi morfologi *opening*. Sedangkan pengolahan citra yang kedua dilakukan untuk mendeteksi adanya *hard exudates* dengan didasarkan pada proses rekonstruksi morfologi. Perbedaan proses ini dilakukan karena objek *hard exudates* memiliki warna yang sama dengan *optic disk* sehingga apabila dilakukan bersamaan dengan pengolahan citra deteksi *microaneurysms* dan *hemorrhages* maka hasilnya bukan objek *hard exudates* yang terdeteksi melainkan pendarahan pada pembuluh darah yang terjadi akibat iskemia atau kekurangan oksigen. Tanda iskemia tersebut akan lebih mudah terdeteksi dibandingkan *hard exudates* karena memiliki nilai intensitas piksel yang lebih tinggi dibandingkan nilai intensitas dari *hard exudates*.

B. Identifikasi *Microaneurysms* dan *Hemorrhages*

Objek *microaneurysms* dan *hemorrhages* yang dilakukan pada proses pengolahan citra pertama dipilih karena kedua objek memiliki ciri yang sama dibandingkan dengan objek *hard exudates*. Deteksi *microaneurysms* dan *hemorrhages* yang dilakukan tidak menghilangkan syaraf mata untuk memisahkan objek dengan selain objek yang tidak diamati karena hal ini membutuhkan metode yang lebih. Pengolahan citra pada penelitian ini terbagi ke dalam tiga tahapan yaitu *pre-processing* yang dilakukan untuk memperbaiki kualitas citra agar penerapan metode selanjutnya dapat menghasilkan kualitas citra yang lebih baik, selanjutnya adalah segmentasi citra yang dilakukan untuk memisahkan latar belakang dan objek yang di deteksi menggunakan operasi morfologi *opening disk*

Tabel 4.4 (a) Rata-rata nilai keabuan sampel citra

k	63	64	66	68	69	75	82	84	85	87	88
$P_r(r_k)$ $= n_k/n$	0,01 6	0,01 6	0,01 6	0,01 6	0,01 6	0,03 1	0,01 6	0,03 1	0,01 6	0,01 6	0,01 6
Fungsi Transformasi											
S_k $= T(r_k)$ $= s_k$ $+ P_r(r_k)$	0,01 6	0,03 1	0,04 7	0,06 3	0,07 8	0,10 9	0,12 5	0,15 6	0,17 2	0,18 8	0,20 3
$S_k \approx r_k$	$\frac{63}{255}$	$\frac{63}{255}$	$\frac{63}{255}$	$\frac{63}{255}$	$\frac{63}{255}$	$\frac{63}{255}$	$\frac{63}{255}$	$\frac{63}{255}$	$\frac{63}{255}$	$\frac{63}{255}$	$\frac{63}{255}$

Tabel diatas merupakan rata-rata nilai keabuan untuk nilai intensitas piksel 63 hingga 88 dimana S_k diperoleh dari kumulatif $P_r(r_k)$. Nilai derajat keabuan baru untuk masing-masing intensitas piksel S_k diperoleh dengan melihat nilai yang terdekat dengan r_k . Apabila nilai $k = 89$ memiliki nilai S_k sebesar 0,219 maka nilai r_k yang mendekati 0,219 adalah piksel dengan intensitas 63 yang memiliki nilai r_k sebesar 0,247 sehingga intensitas piksel 89 akan memiliki derajat keabuan baru yaitu 63.

Tabel 4.4 (b) Rata-rata nilai keabuan sampel citra

k	89	90	92	93	97	100	107	178	181	183	233
$P_r(r_k)$ $= n_k/n$	0,01 6	0,01 6	0,01 6	0,01 6	0,01 6	0,01 6	0,01 6	0,01 6	0,01 6	0,03 1	0,01 6
Fungsi Transformasi											
S_k $= T(r_k)$ $= s_k$ $+ P_r(r_k)$	0,21 9	0,23 4	0,25 0	0,26 6	0,28 1	0,29 7	0,31 3	0,32 8	0,34 4	0,37 5	0,39 1
$S_k \approx r_k$	$\frac{63}{255}$	$\frac{63}{255}$	$\frac{63}{255}$	$\frac{64}{255}$	$\frac{68}{255}$	$\frac{69}{255}$	$\frac{75}{255}$	$\frac{82}{255}$	$\frac{84}{255}$	$\frac{88}{255}$	$\frac{97}{255}$

Perhitungan derajat keabuan baru menggunakan AHE juga dilakukan untuk intensitas piksel seperti Tabel 4.4 (b) diatas yang tersebar ke dalam intensitas piksel 89 hingga 233.

Tabel 4.4 (c) Rata-rata nilai keabuan sampel citra

k	234	235	236	237	238	247	248	252	253	255
$P_r(r_k)$ $= n_k/n$	0,016	0,047	0,016	0,078	0,047	0,016	0,016	0,016	0,016	0,344
Fungsi Transformasi										
S_k $= T(r_k)$ $= s_k$ $+ P_r(r_k)$	0,406	0,453	0,469	0,547	0,594	0,609	0,625	0,641	0,656	1,000
$S_k \approx r_k$	$\frac{100}{255}$	$\frac{100}{255}$	$\frac{107}{255}$	$\frac{107}{255}$	$\frac{107}{255}$	$\frac{178}{255}$	$\frac{178}{255}$	$\frac{178}{255}$	$\frac{178}{255}$	$\frac{255}{255}$

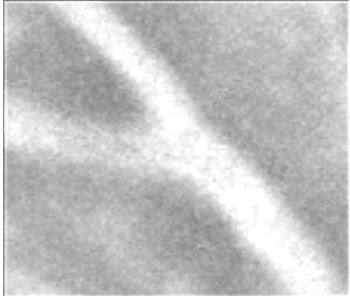
Tabel 4.4 (c) merupakan sebaran intensitas piksel 234 hingga 255 dimana perhitungannya digunakan untuk menentukan derajat keabuan yang baru. Nilai keabuan baru dari intensitas k ditunjukkan sebagai berikut.

$$S_k = \begin{bmatrix} 255 & 255 & 255 & 255 & 255 & 255 & 255 & 255 \\ 255 & 255 & 248 & 183 & 178 & 181 & 183 & 247 \\ 255 & 255 & 237 & 87 & 64 & 75 & 84 & 235 \\ 255 & 255 & 236 & 90 & 69 & 75 & 93 & 237 \\ 255 & 255 & 237 & 88 & 68 & 63 & 92 & 237 \\ 255 & 255 & 238 & 100 & 85 & 66 & 82 & 238 \\ 255 & 255 & 238 & 107 & 97 & 89 & 84 & 237 \\ 255 & 255 & 253 & 235 & 235 & 234 & 233 & 252 \end{bmatrix}$$

$$= \begin{bmatrix} 1 & 1 & 1 & 1 & 1 & 1 & 1 & 1 \\ 1 & 1 & 0,625 & 0,375 & 0,328 & 0,344 & 0,375 & 0,609 \\ 1 & 1 & 0,547 & 0,188 & 0,031 & 0,109 & 0,156 & 0,453 \\ 1 & 1 & 0,469 & 0,234 & 0,078 & 0,109 & 0,266 & 0,547 \\ 1 & 1 & 0,547 & 0,203 & 0,063 & 0,016 & 0,250 & 0,547 \\ 1 & 1 & 0,594 & 0,297 & 0,172 & 0,047 & 0,125 & 0,594 \\ 1 & 1 & 0,594 & 0,313 & 0,281 & 0,219 & 0,156 & 0,547 \\ 1 & 1 & 0,656 & 0,453 & 0,453 & 0,406 & 0,391 & 0,641 \end{bmatrix}$$

Setelah diperoleh nilai rata-rata derajat keabuan baru yang disimbolkan dengan S_k perhitungan selanjutnya yang dilakukan adalah membandingkan nilai derajat keabuan baru S_k dengan r_k yaitu rata-rata derajat keabuan awal dimana nilai intensitas keabuan yang baru diperoleh dengan melihat nilai yang paling dekat dengan rata-rata derajat keabuan awal. Derajat keabuan baru yang memiliki kedekatan dengan derajat keabuan awal ditunjukkan pada matriks berikut.

Tabel 4.8 Matriks sampel citra negatif

	0	0	0	0	0	0	0	0	0	0
	0	0	73	91	73	73	37	55	0	0
	0	0	145	182	218	218	145	72	0	0
	0	0	182	145	182	182	72	55	0	0
	0	0	73	145	218	255	73	37	0	0
	0	0	73	127	182	255	145	37	0	0
	0	0	73	109	145	109	73	72	0	0
	0	0	73	90	37	55	72	55	0	0
	0	0	0	0	0	0	0	0	0	0
	0	0	0	0	0	0	0	0	0	0

Tabel 4.9 Intensitas perhitungan *opening diamond*

Perhitungan 1	<table border="1"> <tr><td>0</td><td>0</td><td>0</td><td>1</td><td>0</td><td>0</td><td>0</td></tr> <tr><td>0</td><td>0</td><td>1</td><td>1</td><td>1</td><td>0</td><td>0</td></tr> <tr><td>0</td><td>1</td><td>1</td><td>1</td><td>1</td><td>1</td><td>0</td></tr> <tr><td>1</td><td>1</td><td>1</td><td>1</td><td>1</td><td>1</td><td>1</td></tr> <tr><td>0</td><td>1</td><td>1</td><td>1</td><td>1</td><td>1</td><td>0</td></tr> <tr><td>0</td><td>0</td><td>1</td><td>1</td><td>1</td><td>0</td><td>0</td></tr> <tr><td>0</td><td>0</td><td>0</td><td>1</td><td>0</td><td>0</td><td>0</td></tr> </table>	0	0	0	1	0	0	0	0	0	1	1	1	0	0	0	1	1	1	1	1	0	1	1	1	1	1	1	1	0	1	1	1	1	1	0	0	0	1	1	1	0	0	0	0	0	1	0	0	0	0	0	0	0	0	0	0	0	0
		0	0	0	1	0	0	0																																																			
		0	0	1	1	1	0	0																																																			
		0	1	1	1	1	1	0																																																			
		1	1	1	1	1	1	1																																																			
		0	1	1	1	1	1	0																																																			
		0	0	1	1	1	0	0																																																			
		0	0	0	1	0	0	0																																																			
		0	0	73	91	73	73	37	55	0	0																																																
		0	0	145	182	218	218	145	72	0	0																																																
0	0	182	145	182	182	72	55	0	0																																																		
0	0	73	145	218	255	73	37	0	0																																																		
0	0	73	127	182	255	145	37	0	0																																																		
0	0	73	109	145	109	73	72	0	0																																																		
0	0	73	90	37	55	72	55	0	0																																																		
0	0	0	0	0	0	0	0	0	0																																																		
0	0	0	0	0	0	0	0	0	0																																																		

Struktur elemen pada kolom kiri akan berjalan dari arah kiri ke kanan yang berlaku untuk setiap piksel. Struktur elemen dan matriks 10×10 akan menjadi satu himpunan dimana setiap piksel dari matriks 10×10 akan dikurangkan dengan setiap nilai pada struktur elemen yang bersesuaian untuk proses erosi dan dilanjutkan dengan menjumlahkan matriks hasil erosi dengan setiap nilai pada struktur elemen yang bersesuaian pula.

Kolom yang berwarna ungu merupakan matriks ukuran 10×10 yang akan dioperasikan dengan struktur elemen *diamond* $R=3$, sedangkan warna oranye menandakan nilai matriks yang akan diinputkan sebagai hasil dari proses erosi.

Langkah 4. Menghitung semua nilai keluaran di node tersembunyi (Z_j) dengan menjumlahkan bobot sinyal input menggunakan Persamaan 2.19

$$\begin{aligned} Z_{net 1} &= v_{10} + \sum_{i=1}^4 x_i v_{ji} = v_{10} + x_1 v_{11} + x_2 v_{12} + x_3 v_{13} + x_4 v_{14} \\ &= 0,2 + 9059,5 \cdot 0,1 + 31223,38 \cdot 0,1 + 5257,75 \cdot 0,3 + 30431 \cdot (-0,1) \\ &= 2562,713 \end{aligned}$$

$$\begin{aligned} Z_{net 2} &= v_{10} + \sum_{i=1}^4 x_i v_{ji} = v_{10} + x_1 v_{11} + x_2 v_{12} + x_3 v_{13} + x_4 v_{14} \\ &= 0,2 + 9059,5 \cdot 0,2 + 31223,38 \cdot (-0,1) + 5257,75 \cdot 0,1 + 30431 \cdot 0,2 \\ &= 5301,737 \end{aligned}$$

$$\begin{aligned} Z_{net 3} &= v_{10} + \sum_{i=1}^4 x_i v_{ji} = v_{10} + x_1 v_{11} + x_2 v_{12} + x_3 v_{13} + x_4 v_{14} \\ &= 0,3 + 9059,5 \cdot (-0,1) + 31223,38 \cdot 0,1 + 5257,75 \cdot 0,2 + 30431 \cdot 0,3 \\ &= 12397,54 \end{aligned}$$

$$\begin{aligned} Z_{net 4} &= v_{10} + \sum_{i=1}^4 x_i v_{ji} = v_{10} + x_1 v_{11} + x_2 v_{12} + x_3 v_{13} + x_4 v_{14} \\ &= 0,2 + 9059,5 \cdot 0,1 + 31223,38 \cdot 0,2 + 5257,75 \cdot (-0,2) + 30431 \cdot 0,1 \\ &= 9142,376 \end{aligned}$$

$$\begin{aligned} Z_{net 5} &= v_{10} + \sum_{i=1}^4 x_i v_{ji} = v_{10} + x_1 v_{11} + x_2 v_{12} + x_3 v_{13} + x_4 v_{14} \\ &= 0,1 + 9059,5 \cdot 0,3 + 31223,38 \cdot (-0,1) + 5257,75 \cdot 0,2 + 30431 \cdot 0,1 \\ &= 3690,262 \end{aligned}$$

Penerapan fungsi aktivasi sigmoid biner diterapkan untuk perhitungan nilai input dengan bobot pada *hidden layer* yang diperoleh dengan menggunakan Persamaan 2.18.

$$\begin{aligned} Z_2 &= f(Z_{net 2}) = \frac{2}{1 + e^{-x}} - 1 = \frac{2}{1 + e^{-5301,737}} - 1 = 1 \\ Z_3 &= f(Z_{net 3}) = \frac{2}{1 + e^{-x}} - 1 = \frac{2}{1 + e^{-12397,538}} - 1 = 1 \\ Z_4 &= f(Z_{net 4}) = \frac{2}{1 + e^{-x}} - 1 = \frac{2}{1 + e^{-9142,376}} - 1 = 1 \\ Z_5 &= f(Z_{net 5}) = \frac{2}{1 + e^{-x}} - 1 = \frac{2}{1 + e^{-3690,262}} - 1 = 1 \end{aligned}$$

$$\begin{aligned}\delta_1 &= (0 - 0,31)0,31(1 - 0,31) = -0,07 \\ \Delta w_{10} &= \alpha\delta_1(1) = 0,1 \cdot (-0,07) \cdot (1) = -0,007 \\ \Delta w_{11} &= \alpha\delta_1(1) = 0,1 \cdot (-0,07) \cdot (1) = -0,007 \\ \Delta w_{12} &= \alpha\delta_1(1) = 0,1 \cdot (-0,07) \cdot (1) = -0,007 \\ \Delta w_{13} &= \alpha\delta_1(1) = 0,1 \cdot (-0,07) \cdot (1) = -0,007 \\ \Delta w_{14} &= \alpha\delta_1(1) = 0,1 \cdot (-0,07) \cdot (1) = -0,007 \\ \Delta w_{15} &= \alpha\delta_1(1) = 0,1 \cdot (-0,07) \cdot (1) = -0,007\end{aligned}$$

$$\begin{aligned}\delta_2 &= (0 - 0,45)0,45(1 - 0,45) = -0,11 \\ \Delta w_{20} &= \alpha\delta_2(1) = 0,1 \cdot (-0,11) \cdot (1) = -0,011 \\ \Delta w_{21} &= \alpha\delta_2(1) = 0,1 \cdot (-0,11) \cdot (1) = -0,011 \\ \Delta w_{22} &= \alpha\delta_2(1) = 0,1 \cdot (-0,11) \cdot (1) = -0,011 \\ \Delta w_{23} &= \alpha\delta_2(1) = 0,1 \cdot (-0,11) \cdot (1) = -0,011 \\ \Delta w_{24} &= \alpha\delta_2(1) = 0,1 \cdot (-0,11) \cdot (1) = -0,011 \\ \Delta w_{25} &= \alpha\delta_2(1) = 0,1 \cdot (-0,11) \cdot (1) = -0,011\end{aligned}$$

$$\begin{aligned}\delta_3 &= (0 - 0,48)0,48(1 - 0,48) = -0,12 \\ \Delta w_{30} &= \alpha\delta_3(1) = 0,1 \cdot (-0,12) \cdot (1) = -0,012 \\ \Delta w_{31} &= \alpha\delta_3(1) = 0,1 \cdot (-0,12) \cdot (1) = -0,012 \\ \Delta w_{32} &= \alpha\delta_3(1) = 0,1 \cdot (-0,12) \cdot (1) = -0,012 \\ \Delta w_{33} &= \alpha\delta_3(1) = 0,1 \cdot (-0,12) \cdot (1) = -0,012 \\ \Delta w_{34} &= \alpha\delta_3(1) = 0,1 \cdot (-0,12) \cdot (1) = -0,012 \\ \Delta w_{35} &= \alpha\delta_3(1) = 0,1 \cdot (-0,12) \cdot (1) = -0,012\end{aligned}$$

$$\begin{aligned}\delta_4 &= (0 - 0,29)0,29(1 - 0,29) = -0,06 \\ \Delta w_{40} &= \alpha\delta_4(1) = 0,1 \cdot (-0,06) \cdot (1) = -0,006 \\ \Delta w_{41} &= \alpha\delta_4(1) = 0,1 \cdot (-0,06) \cdot (1) = -0,006 \\ \Delta w_{42} &= \alpha\delta_4(1) = 0,1 \cdot (-0,06) \cdot (1) = -0,006 \\ \Delta w_{43} &= \alpha\delta_4(1) = 0,1 \cdot (-0,06) \cdot (1) = -0,006 \\ \Delta w_{44} &= \alpha\delta_4(1) = 0,1 \cdot (-0,06) \cdot (1) = -0,006 \\ \Delta w_{45} &= \alpha\delta_4(1) = 0,1 \cdot (-0,06) \cdot (1) = -0,006\end{aligned}$$

$$\begin{aligned}\delta_5 &= (0 - 0,38)0,38(1 - 0,38) = -0,09 \\ \Delta w_{50} &= \alpha\delta_5(1) = 0,1 \cdot (-0,09) \cdot (1) = -0,009 \\ \Delta w_{51} &= \alpha\delta_5(1) = 0,1 \cdot (-0,09) \cdot (1) = -0,009 \\ \Delta w_{52} &= \alpha\delta_5(1) = 0,1 \cdot (-0,09) \cdot (1) = -0,009 \\ \Delta w_{53} &= \alpha\delta_5(1) = 0,1 \cdot (-0,09) \cdot (1) = -0,009 \\ \Delta w_{54} &= \alpha\delta_5(1) = 0,1 \cdot (-0,09) \cdot (1) = -0,009 \\ \Delta w_{55} &= \alpha\delta_5(1) = 0,1 \cdot (-0,09) \cdot (1) = -0,009\end{aligned}$$

Langkah 7. Menghitung faktor δ di unit tersembunyi yang didasarkan pada kesalahan pada setiap unit tersembunyi menggunakan Persamaan 2.27

$$\begin{aligned}\delta_{net_1} &= \delta_1 \cdot w_{11} = (-0,07) \cdot 0,2 = -0,014 \\ \delta_{net_2} &= \delta_1 \cdot w_{12} = (-0,07) \cdot 0,2 = -0,014 \\ \delta_{net_3} &= \delta_1 \cdot w_{13} = (-0,07) \cdot (-0,1) = 0,007\end{aligned}$$

klasifikasi terbaik terhadap lima tingkat keparahan *diabetic retinopathy* diperoleh pada pembentukan struktur jaringan backpropagation dengan tiga nilai inputan hasil ekstraksi fitur dan jumlah LR sebesar 0,001. Satu hal yang dapat disimpulkan dari proses *training* pada Tabel 4.24 menunjukkan bahwa semakin kecil nilai LR maka nilai akurasi yang didapat juga semakin baik. Pada kasus *training* tiga objek lima klasifikasi dengan LR 0,01 hanya menghasilkan nilai akurasi terbesar 72,72 . Perubahan bobot yang dilakukan secara random memberikan pengaruh besar terhadap tercapainya nilai keluaran backpropagation dengan nilai target yang ditentukan.

Karena penelitian ini melakukan klasifikasi terhadap lima tingkat keparahan maka akan ditunjukkan hasil *training* dan *testing* yang diperoleh dari 80% data *training* dan 20% data *testing* seperti pada Tabel 4.25. Perubahan *hidden layer* dan nilai LR berlaku sebagai pedoman untuk mendapatkan pengenalan pola terbaik yang dihasilkan dari struktur backpropagation yang ditentukan. Struktur backpropagation dan hasil dari proses *training testing* tiga objek untuk lima klasifikasi ditunjukkan pada Tabel 4.25.

Berdasarkan hasil *training* dan *testing* seperti pada Tabel 4.25 menunjukkan bahwa semakin banyak *hidden layer* yang digunakan maka nilai *error* yang diperoleh dari hasil *training* juga semakin kecil, namun nilai *error* yang kecil dari hasil *training* tidak selalu menentukan bahwa hasil akurasi *testing* yang diperoleh juga semakin baik. Kasus ini terjadi pada *training* dengan LR sebesar 0,1 dengan jumlah *hidden layer* 175 yang menghasilkan nilai *error* sebesar 0,000059 dibandingkan dengan nilai *error* yang diperoleh dari hasil

keluaran yang didapatkan. Apabila garis putus-putus dengan garis berwarna biru berhimpitan maka nilai keluaran memiliki hasil yang sesuai dengan target maka dapat dipastikan bahwa struktur backpropagation telah memperoleh hasil terbaik.

Proses segmentasi citra yang digunakan untuk klasifikasi sangat berpengaruh terhadap nilai-nilai dari area dan perimeter objek yang digunakan sebagai inputan pada struktur backpropagation sehingga ketepatan hasil identifikasi tingkat keparahan suatu citra sangat bergantung pada hasil pre-processing dan segmentasi citra untuk mendapatkan area dan perimeter objek yang menjadi pembeda antara citra dengan tingkat keparahan satu dengan yang lainnya.

E. Diskusi

Permasalahan yang penulis temukan dalam proses klasifikasi tingkat keparahan *diabetic retinopathy* ini berdasar pada citra yang digunakan sebagai pelatihan dan pengujian. Citra yang digunakan dalam penelitian ini memiliki kendala tidak hanya pada kontras citra namun juga pada struktur citra yang tidak merata. Dalam penelitian ini tidak ada data citra yang tereduksi untuk mendapatkan hasil klasifikasi terbaik sehingga hasil ekstraksi fitur area dan perimeter yang digunakan sebagai inputan backpropagation memungkinkan kelas *mild* berada pada jangkauan dari area dan perimeter kelas *moderate*. Hal ini juga berlaku untuk klasifikasi kelas yang lain. Hal ini juga dapat dilihat dari hasil segmentasi citra yang memiliki kemiripan antar kelas sehingga akan berpengaruh pada hasil klasifikasi. Karena tidak ada data citra yang direduksi, penelitian ini

berfokus pada ketepatan sistem yang dibangun untuk mengenali citra-citra yang mengandung objek *diabetic retinopathy*.

Selain dari struktur citra yang kurang baik, proses segmentasi yang ditujukan untuk membedakan objek yang dikaji dengan latar belakang dinilai memiliki hasil yang kurang baik terutama pada proses segmentasi *hard exudates* yang tidak menghilangkan *optic disk*. Pada proses segmentasi *microaneurysms* dan *hemorrhages* memiliki kekurangan dimana syaraf mata terhitung sebagai area dan perimete objek, begitu pula dengan segmentasi *hard exudates* yang tidak menghilangkan *optic disk* sehingga akan terhitung sebagai nilai area dan perimeter objek yang diamati.

Pada beberapa penelitian tentang klasifikasi atau identifikasi terhadap komplikasi *diabetic retinopathy* cenderung dilakukan yang berfokus pada satu jenis objek seperti *microaneurysms* atau *hard exudates* saja. Apabila klasifikasi tingkat keparahan *diabetic retinopathy* didasarkan pada tiga objek seperti *microaneurysms*, *hemorrhages*, dan *hard exudates* maka hal yang harus dilakukan adalah melakukan segmentasi yang hanya akan menghasilkan objek yang dideteksi tanpa melibatkan *optic disk*, syaraf mata dan objek lainnya yang tidak diamati maka hasil terbaik dari proses klasifikasi terhadap tingkat keparahan *diabetic retinopathy* akan mencapai hasil yang maksimal.

- Munir. (2004). *Pengolahan Citra Digital dengan Pendekatan Logaritmik*. Bandung: Informatika.
- Murinto, d. (2008). Analisis perbandingan histogram equalization dena model logarithmic image processing (LIP) untuk image enhancement. *Informatika*, 2(2), 4-6.
- Nafi'iyah, N. (2015). Algoritma Kohonen dalam Mengubah Citra Graylevel Menjadi Citra Biner. *Jurnal Ilmiah Teknologi dan Informasia ASIA (JITIKA)*, 9(2), 50.
- Nentwich, M. M., & Ulbig, M. W. (2015). Diabetic retinopathy - ocular complications of diabetes mellitus. *World Journal of Diabetes (WJD)*, 6(3), 489.
- Novitasari, D. C. (2015). Klasifikasi Sinyal EEG Menggunakan Metode Fuzzy C-Means Clustering (FCM) Dan Adaptive Neighborhood Modified Backpropagation (ANMBP). *Jurnal Mantik*, 34.
- Prasetyo, E. (2012). *Pengolahan Citra Digital dan Aplikasinya menggunakan Matlab*. Teknik Informatika.
- Putra, D. (2010). *Pengolahan Citra Digital*. Yogyakarta: ANDI.
- Ranamuka, N. G., & Meegama, R. G. (2013). Detection of hard exudates from diabetic retinopathy images using fuzzy logic. *The Institution of Engineering and Technology (IET)*, 7(2), 125.
- Resolution 66/2. (2011). Political Declaration of the High-Level Meeting of the General Assembly on the Prevention and Control of Noncommunicable Diseases. In Sixty-sixth session of the United Nations General Assembly. New York: United Nations.
- Rini, D. C., Farida, Y., & Puspitasari, D. (2016). Klasifikasi Menggunakan Metode Hybrid Bayesian-Neural Network (Studi Kasus: Identifikasi Virus Komputer). *Jurnal Mantik*, 38.
- Sasmita, Johan, J., & Sherwin. (2017). Segmentasi Citra Spot dengan Menggunakan Pendekatan Fuzzy C-Means. *Universitas Bina Nusantara*.

